

УДК 539.3

ВАРИАЦИОННЫЙ ПРИНЦИП ТЕРМОЭЛЕКТРОУПРУГОСТИ И ЕГО ПРИМЕНЕНИЕ В ЗАДАЧЕ О КОЛЕБАНИЯХ ТОНКОСТЕННОГО ЭЛЕМЕНТА

А. О. Ватульян, В. В. Ковалева

Ростовский государственный университет, 344006 Ростов-на-Дону

Изучено динамическое поведение тонкостенных элементов из материалов с пьезоэлектрическим эффектом. Используется вариационная постановка задачи, сформулирован вариационный принцип, отличный от известного. С использованием ряда гипотез о распределении компонент физических полей по толщине элемента и вариационного принципа построены корректные краевые задачи, описывающие растяжение-сжатие и изгиб тонкостенного пьезоэлектрического элемента.

Введение. В настоящее время в технике широко используются конструкции и элементы, изготовленные из пьезоактивных материалов. Представляет интерес изучение их поведения в условиях неоднородного температурного нагружения. Исследования и расчеты ведутся в рамках модели связанной термоэластостатики [1], система уравнений которой в общем случае является достаточно сложной. Основу краевых задач термоэластостатики составляют уравнения термопьезоэлектричества, сформулированные Р. Д. Миндлиным в начале 60-х гг. XX в. Изучению взаимного влияния тепловых, электрических и упругих полей посвящены работы [2–5]. Обобщенная постановка краевой задачи термоэластостатики дана в [5]. При решении конкретных задач возникает необходимость получения более простых моделей и уравнений.

В настоящей работе получены система уравнений и граничные условия в задаче о колебаниях тонкостенных элементов из материалов с пьезо- и пьезоэлектрическим эффектом.

1. Постановка задачи. В линейной связанной термоэластостатике рассматривается задача об установившихся колебаниях тела, занимающего объем V , с границей S . Считая режим колебаний установившимся, опуская временной множитель $e^{-i\omega t}$, запишем основные уравнения в следующей форме:

$$\sigma_{ij,j} + F_i = -\omega^2 \rho u_i, \quad D_{k,k} = 0, \quad -i\omega T_0 \eta = -q_{i,i} + w. \quad (1)$$

Определяющие соотношения имеют вид [1]

$$\begin{aligned} \sigma_{ij} &= c_{ijkl} \varepsilon_{kl} - \gamma_{ij} \theta - e_{kij} E_k, & D_i &= e_{ikl} \varepsilon_{kl} + g_j \theta + \epsilon_{ik} E_k, & \eta &= \gamma_{ij} \varepsilon_{ij} + (c_\varepsilon / T_0) \theta + g_i E_i, \\ E_k &= -\varphi_{,k}, & \varepsilon_{ij} &= (u_{i,j} + u_{j,i}) / 2, & q_i &= -k_{ij} \theta_{,j}. \end{aligned} \quad (2)$$

Здесь σ_{ij} — компоненты тензора напряжений; D_i — компоненты вектора электрической индукции; η — энтропия; q_i — компоненты вектора потока тепла; F_i — компоненты вектора объемных сил; w — объемная мощность внутренних источников тепла; u_j — компоненты вектора перемещения; φ — электрический потенциал; θ — приращение температуры относительно температуры в естественном состоянии; c_{ijkl} — компоненты тензора

упругих постоянных; e_{ikl} — компоненты тензора пьезоэлектрических постоянных; ϵ_{ik} — компоненты тензора диэлектрических проницаемостей; γ_{ij} — компоненты тензора температурных напряжений; g_i — пьезоэлектрические коэффициенты; k_{ij} — компоненты тензора теплопроводности; c_ϵ — теплоемкость при постоянной деформации; ρ — плотность; T_0 — температура в естественном состоянии по шкале Кельвина (все величины соответствуют изотермическому состоянию).

Поверхность S , ограничивающая тело, может быть представлена в виде $S = S_u \cup S_\sigma = S_\theta \cup S_q = S_- \cup S_+ \cup S_H$. Граничные условия представимы в следующей форме:

$$\sigma_{ij}n_j|_{S_\sigma} = p_i, \quad u_i|_{S_u} = u_{i0}, \quad q_jn_j|_{S_q} = f, \quad \theta|_{S_\theta} = \theta_0, \quad D_jn_j|_{S_H} = 0, \quad \varphi|_{S_\pm} = \pm\varphi_0, \quad (3)$$

где p_i , u_{i0} , θ_0 , f — известные функции; $2\varphi_0$ — заданная разность потенциалов; n_j — компоненты единичного вектора внешней нормали к S .

Если величина φ_0 неизвестна, то она определяется из дополнительного условия включения пьезоэлектрического элемента в электрическую цепь

$$i\omega \int_{S_+} D_n dS = -I, \quad (4)$$

где I — амплитуда тока в цепи, периодически изменяющегося во времени.

Таким образом, поведение термоэлектроупругого тела описывается системой пяти дифференциальных уравнений второго порядка сложной структуры с краевыми условиями (3). Построим более простые модели тонкостенных пьезоэлектрических элементов, подобные моделям изгиба пластин и балок. Для корректного построения таких моделей необходимо использовать вариационный принцип термоэлектроупругости.

2. Формулировка вариационного принципа. Вариационный принцип термоэлектроупругости сформулирован в [1], причем для получения уравнений и граничных условий требуется варьировать два независимых функционала. Приводимый в данной работе вариационный принцип является аналогом вариационного принципа Лагранжа теории упругости, и для составления соответствующего функционала использован метод неопределенных множителей Лагранжа. Введем понятие кинематически возможного поля в задаче термоэлектроупругости. Будем считать, что оно состоит из дважды непрерывно дифференцируемых в объеме V функций u_i , φ , θ , удовлетворяющих кинематическим граничным условиям $\delta u_i|_{S_u} = 0$, $\delta\varphi|_{S_\varphi} = 0$, $\delta\theta|_{S_\theta} = 0$. Тогда имеет место следующее утверждение. Среди всех кинематически возможных полей истинные доставляют стационарное значение функционалу L :

$$L = \int_V \left(\frac{\rho\omega^2}{2} u_i^2 + F_i u_i + \frac{w}{i\omega T_0} \theta - \frac{1}{2} c_{ijkl} \epsilon_{ij} \epsilon_{kl} + \epsilon_{ik} \varphi_{,i} \varphi_{,k} - \frac{1}{2i\omega T_0} k_{ij} \theta_{,j} \theta_{,i} + \right. \\ \left. + \frac{c_\epsilon}{2T_0} \theta^2 - e_{kij} \epsilon_{ij} \varphi_{,k} + \gamma_{ij} \epsilon_{ij} \theta - g_i \varphi_{,i} \theta \right) dV + \int_{S_\sigma} p_i u_i dS - \frac{1}{i\omega T_0} \int_{S_q} f \theta dS. \quad (5)$$

Вариационное уравнение $\delta L = 0$ эквивалентно системе уравнений (1) с учетом определяющих соотношений (2) и граничным условиям на S_σ , S_θ и S_q в (3).

Варьируя функционал L , получим

$$\delta L = \int_V \left[(\rho\omega^2 u_i + F_i + \sigma_{ij,j}) \delta u_i + D_{k,k} \delta\varphi + \left(\frac{w}{i\omega T_0} + \eta - \frac{1}{i\omega T_0} q_{i,i} \right) \delta\theta \right] dV + \\ + \int_{S_\sigma} (p_i - \sigma_{ij}n_j) \delta u_i dS - \frac{1}{i\omega T_0} \int_{S_q} (f - q_i n_i) \delta\theta dS + \int_{S_H} D_k n_k \delta\varphi dS = 0. \quad (6)$$

Поскольку вариации перемещений, потенциала и температуры произвольны и независимы, из (6) в силу основной леммы вариационного исчисления следует равенство нулю множителей при соответствующих вариациях как в объемном, так и в поверхностных интегралах, т. е. уравнения (1) и естественные граничные условия в (3).

3. Простейшая модель колебаний тонкостенного элемента. Рассмотрим задачу о колебаниях пластины-полосы из термоэластопластического материала класса 6 mm. Будем считать, что пластина находится в состоянии плоской деформации и искомые поля удовлетворяют следующим ограничениям:

$$u_2 = 0, \quad \frac{\partial u_i}{\partial x_2} = \frac{\partial \varphi}{\partial x_2} = \frac{\partial \theta}{\partial x_2} = 0.$$

Сечение пластины плоскостью $x_2 = \text{const}$ есть прямоугольник $\Omega [-l, l] \times [-H, H]$. Колебания пластины возникают из-за разности температур на границах $x_3 = \pm H$:

$$\begin{aligned} \sigma_{13}|_{x_3=\pm H} = \sigma_{33}|_{x_3=\pm H} = 0, \quad \varphi|_{x_3=\pm H} = \pm\varphi_0, \quad \theta|_{x_3=\pm H} = \theta_{\pm}, \\ \sigma_{13}|_{x_1=\pm l} = \sigma_{11}|_{x_1=\pm l} = 0, \quad D_1|_{x_1=\pm l} = 0, \quad q_1|_{x_1=\pm l} = 0. \end{aligned}$$

В этой постановке постоянные θ_{\pm} известны, а неизвестный потенциал φ_0 определяется из дополнительного условия (4), которое в данном случае принимает вид

$$\int_{-l}^l D_3(x_1, H) dx_1 = 0. \quad (7)$$

Построим упрощенную модель деформирования ленточной плиты при $\varepsilon = H/l \ll 1$ в рамках классических гипотез Кирхгофа, полагая

$$u_1 = u_{10}(x_1) - x_3 u'_{30}(x_1), \quad u_3 = u_{30}(x_1), \quad \varphi = (x_3/H)\varphi_0, \quad \theta = T_1 + (x_3/H)T_2, \quad (8)$$

где $T_1 = (\theta_+ + \theta_-)/2$; $T_2 = (\theta_+ - \theta_-)/2$. Подставим (8) в функционал и найдем его вариацию. Приравняв к нулю множители при независимых вариациях δu_{10} и δu_{30} , получим систему уравнений и граничных условий, описывающую колебания тонкостенного элемента в рамках модели термоэластопластичности.

Полученная система уравнений и граничных условий естественным образом разделяется на две независимые задачи, которые условно можно назвать задачами “растяжения-сжатия” (задача 1) и “изгиба” (задача 2) тонкостенного элемента.

ЗАДАЧА 1. Неизвестная функция u_{10} удовлетворяет уравнению и граничным условиям

$$c_{11}^* u''_{10} + \rho\omega^2 u_{10} = 0, \quad c_{11}^* u'_{10}|_{x_1=\pm l} = \gamma_{11}^* T_1 - (e_{31}^*/H)\varphi_0.$$

ЗАДАЧА 2. Неизвестная функция u_{30} удовлетворяет уравнению и граничным условиям

$$c_{11}^* u_{30}^{(4)} + \rho\omega^2 u''_{30} - \frac{3\rho\omega^2}{H^2} u_{30} = 0, \quad (c_{11}^* u'''_{30} + \rho\omega^2 u'_{30})|_{x_1=\pm l} = 0, \quad c_{11}^* u''_{30}|_{x_1=\pm l} = -\frac{\gamma_{11}^*}{H} T_2.$$

Здесь $c_{11}^* = c_{11} - c_{13}^2/c_{33}$; $\gamma_{11}^* = \gamma_{11} - c_{13}\gamma_{33}/c_{33}$; $e_{31}^* = e_{31} - e_{33}c_{13}/c_{33}$.

Следует отметить, что разность температур на границах входит в уравнение задачи 2, сумма — в уравнение задачи 1. В задаче 2 уравнение и первое граничное условие отличаются от уравнения и граничного условия классической задачи изгиба балки лишь членами $\rho\omega^2 u''_{30}$ и $\rho\omega^2 u'_{30}$ соответственно, учитывающими инерцию вращения [6]. Роль изгибающего момента, приложенного на краях $x_1 = \pm l$, играет слагаемое $-(\gamma_{11}^*/H)T_2$, зависящее от разности температур θ_+ и θ_- .

Дополнительное условие (7) имеет вид

$$\int_{-l}^l \left(e_{31}^* (u'_{10} - H u''_{30}) - \frac{\epsilon_{33}^*}{H} \varphi_0 + g_3^* (T_1 + T_2) \right) dx_1 = 0, \quad (9)$$

где $\epsilon_{33}^* = \epsilon_{33} + e_{33}^2/c_{33}$; $g_3^* = g_3 + \gamma_{33}e_{33}/c_{33}$.

Решения задач 1, 2 записываются в виде

$$u_{10} = \frac{l(\gamma_{11}^* T_1 - (e_{31}^*/H)\varphi_0)}{c_{11}^* k \cos k} \sin\left(\frac{k}{l} x_1\right), \quad u_{30} = \frac{\gamma_{11}^*}{c_{11}^* H K_0} (f(\xi_2) \operatorname{ch}(\xi_1 x_1) - f(\xi_1) \operatorname{ch}(\xi_2 x_1)) T_2,$$

где $k = \omega l/c$; $c = \sqrt{c_{11}^*/\rho}$; $\varepsilon = H/l$; $\xi_{1,2} = (k/(\sqrt{2}l))\sqrt{-1 \pm \sqrt{1 + 12/(k^2\varepsilon^2)}}$; $f(\xi_1) = \xi_1(\xi_1^2 + k^2/l^2) \operatorname{sh}(\xi_1 l)$; $K_0 = \xi_2^2 f(\xi_1) \operatorname{ch}(\xi_2 l) - \xi_1^2 f(\xi_2) \operatorname{ch}(\xi_1 l)$.

Наведенный потенциал определяется из (9) следующим образом:

$$\begin{aligned} \varphi_0 &= \varphi_1 T_1 + \varphi_2 T_2, \\ \varphi_1 &= H(e_{31}^* \gamma_{11}^* \sin k + g_3^* c_{11}^* k \cos k)/d_0, \quad d_0 = \epsilon_{33}^* c_{11}^* k \cos k + e_{31}^{*2} \sin k, \\ \varphi_2 &= c_{11}^* k \cos k (g_3^* l - (e_{31}^* \gamma_{11}^*/K_0)(f(\xi_2)\xi_1 \operatorname{sh}(\xi_1 l) - f(\xi_1)\xi_2 \operatorname{sh}(\xi_2 l)))/d_0. \end{aligned}$$

Проанализируем полученные формулы для расчета наведенного потенциала. В пирроэлектрическом элементе имеется два набора резонансных частот, соответствующих продольным резонансам, определяемым из условия $d_0(k_j) = 0$, и изгибным, определяемым из уравнения $K_0(k_i) = 0$. На этих частотах наведенный потенциал обращается в бесконечность. Следует отметить, что при $T_2 = 0$ изгиб отсутствует.

4. Уточненная модель колебаний тонкостенного элемента. Простейшая модель деформирования тонкостенного элемента, исследованная в п. 3, не учитывает распределение температуры по координате x_1 и дает неограниченный рост потенциала на частотах продольного и изгибного резонансов.

Рассмотрим уточненную модель колебаний тонкостенного элемента, принимая

$$\begin{aligned} u_1 &= u_{10}(x_1) - x_3(e_{15}/c_{44})\Phi'_0(x_1) - x_3 u'_{30}(x_1), \quad u_3 = u_{30}(x_1), \\ \varphi &= (1 - x_3^2/H^2)\Phi_0(x_1) + x_3\varphi_0/H, \quad \theta = (1 - x_3^2/H^2)\theta_0(x_1) + (x_3/H)T_2 + (x_3^2/H^2)T_1. \end{aligned} \quad (10)$$

При этом выполняются кинематические граничные условия $\varphi(x_1, \pm H) = \pm\varphi_0$, $\theta(x_1, \pm H) = \theta_{\pm}$. Кроме того, $\sigma_{13}(x_1, \pm H) = 0$, а введенные дополнительно функции $\Phi_0(x_1)$ и $\theta_0(x_1)$ имеют простой физический смысл: $\varphi(x_1, 0) = \Phi_0(x_1)$, $\theta(x_1, 0) = \theta_0(x_1)$.

Проварьировав функционал (5) с учетом (10) и приравняв к нулю множители при независимых вариациях δu_{10} , δu_{30} , $\delta\Phi_0$ и $\delta\theta_0$, получим систему уравнений и граничных условий, которая также естественным образом разделяется на две независимые задачи.

ЗАДАЧА 1а (обобщенная задача растяжения-сжатия). Неизвестные функции u_{10} , θ_0 удовлетворяют уравнениям и граничным условиям

$$\begin{aligned} c_{11}^* u''_{10} + \rho\omega^2 u_{10} - (2/3)\gamma_{11}^* \theta'_0 &= 0, \\ \gamma_{11}^* u'_{10} + \frac{4}{5} \frac{k_{11}}{i\omega T_0} \theta''_0 - \left(\frac{2}{H^2} \frac{k_{33}}{i\omega T_0} - \frac{4}{5} \frac{c_{\varepsilon}^*}{T_0} \right) \theta_0 &= - \left(\frac{2}{H^2} \frac{k_{33}}{i\omega T_0} + \frac{1}{5} \frac{c_{\varepsilon}^*}{T_0} \right) T_1 + \frac{g_3^*}{H} \varphi_0, \\ (c_{11}^* u'_{10} - (2/3)\gamma_{11}^* \theta_0)|_{x_1=\pm l} &= \gamma_{11}^* T_1/3 - (e_{31}^*/H)\varphi_0, \quad \theta'_0|_{x_1=\pm l} = 0. \end{aligned}$$

ЗАДАЧА 2а (обобщенная задача изгиба). Неизвестные функции u_{30} , Φ_0 удовлетворяют уравнениям и граничным условиям

$$c_{11}^* u_{30}^{(4)} + \rho\omega^2 u''_{30} - \frac{3\rho\omega^2}{H^2} u_{30} + c_{11}^* \frac{e_{15}}{c_{44}} \Phi_0^{(4)} + \left(\rho\omega^2 \frac{e_{15}}{c_{44}} + \frac{2e_{31}^*}{H^2} \right) \Phi_0'' = 0,$$

$$\begin{aligned}
& c_{11}^* \frac{e_{15}}{c_{44}} u_{30}^{(4)} + \left(\rho \omega^2 \frac{e_{15}}{c_{44}} + \frac{2e_{31}^*}{H^2} \right) u_{30}'' + c_{11}^* \frac{e_{15}^2}{c_{44}^2} \Phi_0^{(4)} + \\
& \quad + \left(\rho \omega^2 \frac{e_{15}^2}{c_{44}^2} + \frac{4e_{31}^*}{H^2} \frac{e_{15}}{c_{44}} + \frac{19}{H^2} \frac{e_{15}^2}{c_{44}} + \frac{8}{5} \frac{\epsilon_{11}}{H^2} \right) \Phi_0'' - \frac{4\epsilon_{33}^*}{H^4} \Phi_0 = \frac{2g_3^*}{H^3} T_2, \\
& \quad \left(c_{11}^* u_{30}''' + \rho \omega^2 u_{30}' + c_{11}^* \frac{e_{15}}{c_{44}} \Phi_0''' + \left(\rho \omega^2 \frac{e_{15}}{c_{44}} + \frac{2e_{31}^*}{H^2} \right) \Phi_0' \right) \Big|_{x_1=\pm l} = 0, \\
& \left(c_{11}^* \frac{e_{15}}{c_{44}} u_{30}''' + \rho \omega^2 \frac{e_{15}}{c_{44}} u_{30}' + c_{11}^* \frac{e_{15}^2}{c_{44}^2} \Phi_0''' + \left(\rho \omega^2 \frac{e_{15}^2}{c_{44}^2} + \frac{2e_{31}^*}{H^2} \frac{e_{15}}{c_{44}} + \frac{19}{H^2} \frac{e_{15}^2}{c_{44}} + \frac{8}{5} \frac{\epsilon_{11}}{H^2} \right) \Phi_0' \right) \Big|_{x_1=\pm l} = 0, \\
& \quad \left(c_{11}^* u_{30}'' + c_{11}^* \frac{e_{15}}{c_{44}} \Phi_0'' + \frac{2e_{31}^*}{H^2} \Phi_0 \right) \Big|_{x_1=\pm l} = -\frac{\gamma_{11}^*}{H} T_2.
\end{aligned}$$

Дополнительное условие (7) имеет вид

$$\int_{-l}^l \left(e_{31}^* \left(u_{10}' - H \frac{e_{15}}{c_{44}} \Phi_0'' - H u_{30}'' \right) - \frac{\epsilon_{33}^*}{H} (\varphi_0 - 2\Phi_0) + g_3^* (T_1 + T_2) \right) dx_1 = 0. \quad (11)$$

Следует отметить, что сумма температур на границах входит в задачу 1а, а их разность — в задачу 2а. Задачи 1а, 2а существенно сложнее задач 1, 2. Их решения выражаются через корни биквадратного и бикубического характеристических уравнений.

Наведенный потенциал имеет такую же структуру, как и в п. 3: $\varphi_0 = \varphi_1 T_1 + \varphi_2 T_2$, причем φ_1 и φ_2 находятся из условия (11).

Построим решение задачи 1а, когда $T_2 = 0$, т. е. изгиб отсутствует и $\Phi_0 = 0$, $u_{30} = 0$. В этом случае решение задачи 1а имеет вид

$$u_{10} = \sum_{i=1}^2 A_i \operatorname{sh}(\lambda_i x_1), \quad \theta_0 = \sum_{i=1}^2 B_i \operatorname{ch}(\lambda_i x_1) + L_1 T_1 - \frac{L_2}{H} \varphi_0,$$

$$A_i = (2/3)(\gamma_{11}^*/c_{11}^*)\lambda_i X_i, \quad B_i = (\lambda_i^2 + k^2/l^2)X_i, \quad L_1 = b_3/b_2, \quad L_2 = b_4/b_2,$$

λ_i — решения характеристического уравнения

$$(4/5)\lambda^4 + (2\gamma_{11}^* b_1 / (3c_{11}^*) - b_2 + 4k^2/(5l^2))\lambda^2 - b_2 k^2/l^2 = 0,$$

где $b_1 = T_0 i k c / (k_{11} l)$; $b_2 = (10 l k_{33} - 4 c_{\epsilon}^* k_{11} H^2 i k c) / (5 H^2 k_{11} l)$; $b_3 = (10 l k_{33} + c_{\epsilon}^* k_{11} H^2 i k c) / (5 H^2 k_{11} l)$; $b_4 = g_3^* T_0 i k c / (k_{11} l)$; X_i находятся из граничных условий

$$X_1 = \frac{3}{2} \frac{c_{11}^*}{\gamma_{11}^*} \frac{l^2}{k^2} \frac{F(\lambda_2)}{D_0} \left(N_1 T_1 - N_2 \frac{\varphi_0}{H} \right), \quad X_2 = -\frac{3}{2} \frac{c_{11}^*}{\gamma_{11}^*} \frac{l^2}{k^2} \frac{F(\lambda_1)}{D_0} \left(N_1 T_1 - N_2 \frac{\varphi_0}{H} \right),$$

где $F(\lambda_1) = \lambda_1 (\lambda_1^2 + k^2/l^2) \operatorname{sh}(\lambda_1 l)$; $N_1 = \gamma_{11}^* (1 + 2b_3/b_2) / (3c_{11}^*)$; $N_2 = (e_{31}^* + 2\gamma_{11}^* b_4 / (3b_2)) / c_{11}^*$; $D_0 = F(\lambda_1) \operatorname{ch}(\lambda_2 l) - F(\lambda_2) \operatorname{ch}(\lambda_1 l)$.

Потенциал φ_0 определяется из дополнительного условия (11):

$$\varphi_0 = T_1 H \frac{g_3^* l k^2 D_0 + \lambda_1 \lambda_2 l^2 e_{31}^* N_1 \operatorname{sh}(\lambda_1 l) \operatorname{sh}(\lambda_2 l) (\lambda_2^2 - \lambda_1^2)}{\epsilon_{33}^* l k^2 D_0 + \lambda_1 \lambda_2 l^2 e_{31}^* N_2 \operatorname{sh}(\lambda_1 l) \operatorname{sh}(\lambda_2 l) (\lambda_2^2 - \lambda_1^2)}.$$

В этом случае значение потенциала φ_0 оказывается комплексным. Тогда, отделяя вещественную часть, получим $\varphi_0 = AR \sin(\omega t + \delta_3)$, где A — размерный множитель; R — безразмерная амплитуда, зависящая от k .

На рис. 1, 2 приведены зависимости амплитуды потенциала от безразмерной частоты k для пьезоэлектрического элемента из титаната бария (сплошные линии соответствуют простейшей модели, штриховые — уточненной). На рис. 1 зависимости

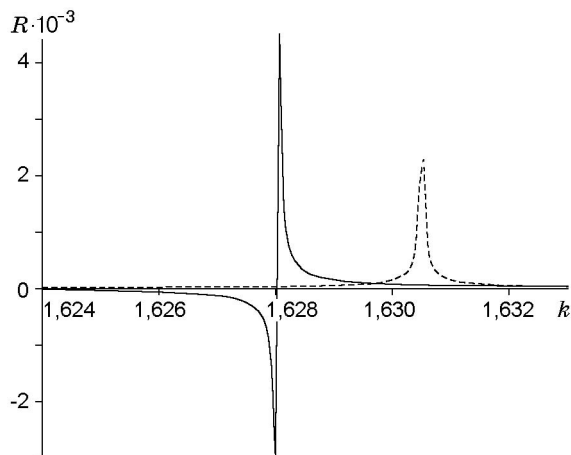


Рис. 1

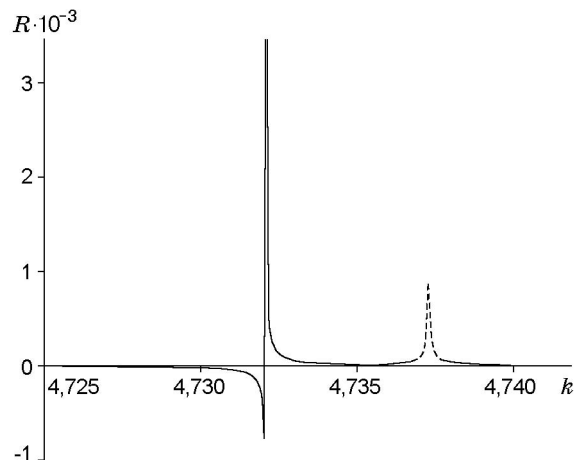


Рис. 2

изображены в окрестности первого продольного резонанса, на рис. 2 — в окрестности второго продольного резонанса. Результаты сравнения этих зависимостей показывают, что в уточненной модели всплески амплитуд конечные и сдвинуты в сторону увеличения k . Из анализа уточненной модели следует, что она может быть использована для описания связанных колебаний пьезоэлектрических элементов.

В случае $\gamma_{11}^* = 0$ при $T_2 = 0$, что соответствует отсутствию связанности, в задачах 1, 1а решения для наведенного потенциала для обеих моделей совпадают и приводятся к виду $\varphi_1 = T_1 H g_3^* c_{11}^* k \cos k/d_0$.

При моделировании колебаний пьезоэлектрических элементов часто используется концепция слабой связанности, в которой величины γ_{11}^* и g_3^* предполагаются малыми и строятся регулярные разложения по этим параметрам. Нетрудно показать, что при таком подходе сохраняются бесконечные всплески амплитуды потенциала на частотах продольных и поперечных резонансов. В нерезонансной области использование этого подхода дает результаты, близкие к полученным по уточненной модели.

ЛИТЕРАТУРА

1. **Новацкий В.** Электромагнитные эффекты в твердых телах. М.: Мир, 1986.
2. **Шинкаренко Г. А.** Проекционно-сеточные аппроксимации для вариационных задач пьезоэлектричества. 1. Постановка задач и анализ установившихся вынужденных колебаний // Дифференц. уравнения. 1993. Т. 29, № 7. С. 1252–1260.
3. **Шинкаренко Г. А.** Проекционно-сеточные аппроксимации для вариационных задач пьезоэлектричества. 2. Дискретизация и разрешимость нестационарных задач // Дифференц. уравнения. 1994. Т. 30, № 2. С. 317–326.
4. **Paul H. S., Renganathan K.** Free vibration of a pyroelectric layer of hexagonal (6 mm) class // J. Acoust. Soc. Amer. 1985. V. 78, N 2. P. 395–397.
5. **Белоконь А. В., Наседкин А. В.** Колебания термоэлектроупругих тел ограниченных размеров // Современные проблемы механики сплошной среды. Ростов н/Д: МП “Книга”, 1995. С. 31–46.
6. **Тимошенко С. П.** Колебания в инженерном деле. М.: Физматгиз, 1959.